



تأثیر مؤلفه‌های CIELCH در انتخاب سیاه ترجیح داده شده

راضیه جعفری

استادیار، گروه پژوهشی فیزیک رنگ، مؤسسه پژوهشی علوم و فناوری رنگ و پوشش، تهران، ایران، صندوق پستی: ۱۶۷۶۵-۶۵۴

تاریخ پذیرش: ۹۳/۲/۲۷

در دسترس به صورت الکترونیکی از:

۹۲/۱۱/۲۸

چکیده

در این تحقیق تأثیر روش‌نایی، خلوص و زاویه فام در انتخاب سیاه برتر از میان ۲۱۶ نمونه پارچه‌ای سیاه بررسی شد. ارزیابی نمونه‌ها با استفاده از روش رتبه‌بندی منظم و طی دو مرحله مجزا شامل انتخاب نمونه‌های سیاه و سپس گزینش سیاه برتر از میان نمونه‌هایی که بیش از ۵۰٪ ارزیابان آنها را سیاه تشخیص دادند، انجام شد. نتایج حاصل از انجام ۳۱۳۰ آزمون ارزیابی چشمی بیانگر نقش مؤثر ویژگی فام نمونه‌ها در هر دو آزمون انتخاب نمونه سیاه و تعیین سیاه برتر است چون ارزیابان عمده‌ای نمونه‌های سیاه تسبیز-ته‌آبی (حتی با مقادیر خلوص بالا) را به عنوان سیاه انتخاب کردند. ضمن آنکه عدم ارجحیت سیاهی برای نمونه‌های سیاه با ته‌رنگ‌های قرمز به دست آمد. همچنین مشخص شد که از بین دو نمونه سیاه با مقادیر خلوص یکسان و با ته‌رنگ‌های مشابه، نمونه تیره‌تر بیشتر ترجیح داده می‌شود. این انتخاب در ارزیابی نمونه‌های سیاه با مقادیر روش‌نایی و زوایای فام تقریباً مشابه، به نمونه خنثی‌تر تعلق گرفت. در پایان، پیچیدگی تابعیت سیاهی و ارجحیت سیاهی از سه مؤلفه روش‌نایی، خلوص و زاویه فام به طور همزمان محرز گردید.

واژه‌های کلیدی: سیاه ترجیح داده شده، مؤلفه‌های CIELCH، ارجحیت سیاهی، رتبه‌بندی منظم، ارزیابی چشمی.

Effect of CIELCH Coordinates on Selection of Preferred Black

R. Jafari

Department of Color Physics, Institute for Color Science and Technology, P.O. Box: 16765-654, Tehran, Iran.

Received: 18-02-2014

Accepted: 17-06-2014

Available online: 11-09-2014

Abstract

In this research the effect of lightness, chroma and hue angle is investigated to select the preferred black among the 216 black fabrics. The rank ordering method was used to visually assess black samples in two steps, i.e., finding the black samples and selecting the preferred black among samples which most of observers detected them as blacks. Performing of 3130 visual assessment experiments shows the effect of hue attribute in blackness perception and preference. In fact, observers mostly selected and preferred the cyanish-bluish blacks while they did not prefer the reddish blacks. Besides, among two blacks with the same chroma and hue angle, the darker one was preferred. For black samples with the same lightness and hues, the blackness preference was related to the sample which is more neutral. Finally, it was found that lightness, chroma and hue angle influence in blackness perception and preference, simultaneously. *J. Color Sci. Tech.* 8(2014), 167-177©. Institute for Color Science and Technology.

Keywords: Preferred black, CIELCH coordinates, Blackness preference, Rank ordering, Visual assessment.

رنگی مانسل بریک نمایشگر کامپیووتر به ارزیابان نشان داد که در هر دسته فام نمونه‌های با کمترین سطوح روشنایی و خلوص به عنوان نزدیک‌ترین نمونه‌ها به سیاه خالص ارزیابی می‌گردند [۱۵]. تحقیق دیگری توسط کلاتنس و همکارانش با هدف بررسی تأثیر ویژگی‌های رنگی در درک سیاهی و تلاش برای ارائه مدلی جهت توصیف سیاهی انجام شد. نتایج تحقیقات آنها منجر به ارائه دو رابطه مبتنی بر ویژگی‌های رنگی نمونه‌های مشکی و نتایج ارزیابی‌های چشمی گردید که فقدان روشنایی در هر دو رابطه را می‌توان از نقاط ضعف مدل‌های ارائه شده محسوب نمود [۱۶-۱۸].

بررسی تحقیقات انجام شده حاکی از ارزیابی تعداد محدودی نمونه مشکی با اعمال محدودیت‌هایی در محدوده فام، روشنایی و خلوص نمونه‌ها است. به عنوان مثال در برخی تحقیقات، مطالعات تنها به نمونه‌هایی با روشنایی، خلوص و یا فام یکسان محدود شده است [۱۳-۱۸]. برخلاف مطالعات انجام شده در این تحقیق تلاش شده تا اولًا طیف وسیعی از نمونه‌های مشکی با تنوعی از ویژگی‌های رنگی تهیه شوند [۲۶] نمونه پارچه‌ای که به روش چاپ منسوج تهیه می‌شوند). ضمن آنکه به منظور شبیه‌سازی درک چشمی سیاهی با مشاهدات واقعی، نمونه‌ها در کابینت نوری و تحت شرایط استاندارد مشاهده به ارزیابان ارائه شده و از نمایش معادل تقریبی نمونه‌ها بر روی نمایشگر کامپیووتر احتراز شده است. همچنین آزمون‌های ارزیابی چشمی به نحوی طراحی شده که انتخاب نمونه‌های سیاه برتر از میان نمونه‌هایی که پیش‌اپیش به عنوان سیاه ارزیابی شده‌اند صورت پذیرد. درحالی که در تحقیقات پیشین این دو آزمون کاملاً مجزا از هم انجام شده و انتخاب نمونه‌های سیاه برتر هیچ ارتباطی به گزینش نمونه‌های سیاه نداشته است [۱۳-۱۸].

۲- بخش تجربی

۱-۲- مواد

از پاچه پنبه‌ای با بافت تافته به عنوان زمینه برای فرآیند چاپ استفاده شده است. همچنین از چهار رنگدانه رنگی به همراه رنگدانه مشکی جهت ایجاد فام مشکی همراه با ته رنگ‌های مختلف بهره گرفته شده است. مشخصات کلی و نام تجاری رنگدانه‌های مورد استفاده در فرآیند چاپ در جدول ۱ نشان داده شده است.

۲- روش کار

۱-۲-۲- آماده‌سازی نمونه‌ها

جهت آماده سازی نمونه‌های مشکی از روش چاپ بر روی منسوج، استفاده گردید. چهار رنگدانه رنگی شامل رنگ‌های قرمز، سبز، آبی و زرد در مخلوط‌های مختلف دوتایی، سه تایی و چهارتایی با رنگدانه سیاه ترکیب شده و در فرآیند چاپ معمول منسوج با مواد رنگی رنگدانه استفاده شدند.

۱- مقدمه

در علوم رنگ، سیاه یکی از دو رنگ موجود در دو انتهای سری سطوح غیررنگی تعریف می‌شود که از کمترین میزان روشنایی برخوردار باشد [۲-۱]. درک تجربی سیاهی نیز به نمونه‌هایی با مقادیر کروموما (خلوص) و روشنایی کم مربوط می‌گردد. علاوه بر کاربرد بالای سیاهی در صنایع همچون نساجی، پلاستیک‌سازی، رنگ‌های پوشاننده سطوح، صنایع آرایشی وغیره، ارجحیت کاربرد رنگ مشکی در چاپ متن بر روی کاغذ و دیگر سطوح غیر قابل انکار بوده و بنظر نمی‌رسد که در صنعت چاپ هیچ رنگی بتواند جایگزین سیاه شده و یا با آن رقابت کند [۳-۵]. همچنین فرهنگ‌های قومی مختلف تعابیر متفاوتی از سیاهی داشته [۶] و در برخی کشورها از جمله کشورهای خاورمیانه از آن به عنوان رنگ پوشش رسمی در مراسم مذهبی استفاده می‌شود. به رغم اهمیت تجاری بالا، مطالعات محدودی در خصوص ارزیابی رفتار طیفی و رنگی سیاهی انجام شده است. در بررسی رفتار طیفی سیاهی، جعفری و معکوس انعکاس نمونه‌های سیاه کاغذی و پارچه‌ای، به ابعاد محدود نمونه‌های مذکور در فضاهای مورد بحث اشاره داشتند [۷-۹]. تحقیقات یک گروه زبانی بر روی البسه مشکی از اولین تحقیقات صورت گرفته در خصوص بررسی رفتار رنگی سیاهی است که با هدف تعیین سیاه خالص بر مبنای ترکیب دو عامل اساسی حساسیت چشمی مشاهده کننده و نتایج حاصل از پردازش تصاویر انجام شد. تحقیقات آنها که مبتنی بر روش دستگاهی مذکور چشمی با ویژگی‌های ساختاری ۸ پارچه سیاه مختلف بود نشان داد که بجز میزان ضخامت، سایر عوامل فیزیکی تأثیر چندانی بر درک سیاهی ندارند [۱۰-۱۲]. به منظور ارزیابی سیاهی در صنعت چاپ در تحقیق انجام شده توسط وستلن و همکارانش تلاش شد تا یک روش دستگاهی منطبق بر مشاهدات چشمی برای درک سیاهی ارائه شود. در تحقیق مذکور چهار اندیس متفاوت بصورت ترکیب‌های خطی و غیرخطی از محرک‌های سه‌گانه رنگی و روشنایی نمونه‌ها در فضا رنگ‌های مختلف ارائه شد که در این بین اندیس پیشنهادی مبتنی بر فضارنگ یکنواخت CIELAB بهترین تطبیق را با نتایج حاصل از ارزیابی‌های چشمی ۱۰۰ نمونه مشکی کاغذی نشان داد [۴]. عدم کارآیی اندیس‌های پیشنهادی وستلن که برای ارزیابی سیاهی جوهرهای چاپ ارائه شده بود در خصوص ارزیابی ۳۰ پارچه مشکی با به کارگیری روش مقایسه جفت‌ها نشان داده شد [۱۳]. در تحقیقی که به وسیله لن تاو و همکارانش انجام شد تأثیر فام در درک چشمی سیاهی مورد توجه قرار گرفت. در این تحقیق مقادیر تقریبی محرک‌های سه‌گانه ۱۳ نمونه مانسل [۱۰] نمونه رنگی با مقادیر روشنایی و خلوص یکسان و ۳ نمونه خنثی) بر یک نمایشگر کامپیووتر با پس زمینه خنثی به مشاهده کنندگان ارائه شدند. نتایج نشان داد که اگرچه ارزیابان تیزه‌ترین نمونه خنثی را به عنوان نزدیک‌ترین نمونه به سیاه خالص تشخیص دادند اما ارجحیت آنها در انتخاب نمونه‌های سیاه با ته رنگ آبی بود [۱۴]. همچنین ارائه مقادیر تقریبی محرک‌های سه‌گانه ۲۹ نمونه

جدول ۱: مشخصات عمومی و نام تجاری رنگدانه‌های به کار رفته در فرآیند چاپ منسوج.

نام تجاری	عرضه کننده	نام عمومی
Imperon Black FBB	Dystar	Pigment Black 7
Imperon Blue K-RR	Dystar	Pigment Blue 15
Imperon Green K-G	Dystar	Pigment Green 7
Imperon Yellow K-2G	Dystar	Pigment Yellow 14
Imperon Red K-GC	Dystar	Pigment Red --

۳-۲-۲- آزمون‌های ارزیابی چشمی

به منظور بررسی تأثیر مؤلفه‌های رنگی در انتخاب سیاه ترجیح داده شده، آزمون ارزیابی چشمی در دو مرحله انجام شد: تعیین نمونه‌های سیاه و انتخاب سیاه برتر. به بیان دیگر، ابتدا از مشاهده کنندگان خواسته شد تا نمونه‌هایی که از نظر آنان سیاه محسوب می‌شوند را مشخص سازند [۱۹] و در مرحله دوم، نمونه‌های سیاه منتخب را بر حسب ارجحیت فردی رتبه‌بندی نمایند. به این منظور ابتدا بینایی رنگی طبیعی ارزیابان شامل ۵ خانم و ۵ آقا در محدوده سنی ۲۱ تا ۲۷ سال با میانگین سنی ۲۴,۸، توسط آزمون ایشی‌هارا آزمایش گردید. ارزیابی‌های چشمی تحت یک کابینت نوری با زمینه خاکستری و روشنایی لامپ شبیه‌ساز استاندارد روشنایی D65 در حالی انجام شد که ضمن برقراری شرایط مشاهده کننده استاندارد CIE1964، زاویه منبع نوری و زاویه محوری مشاهده کننده نسبت به خط عمود بر جسم بترتیب صفر و ۴۵ درجه بود.

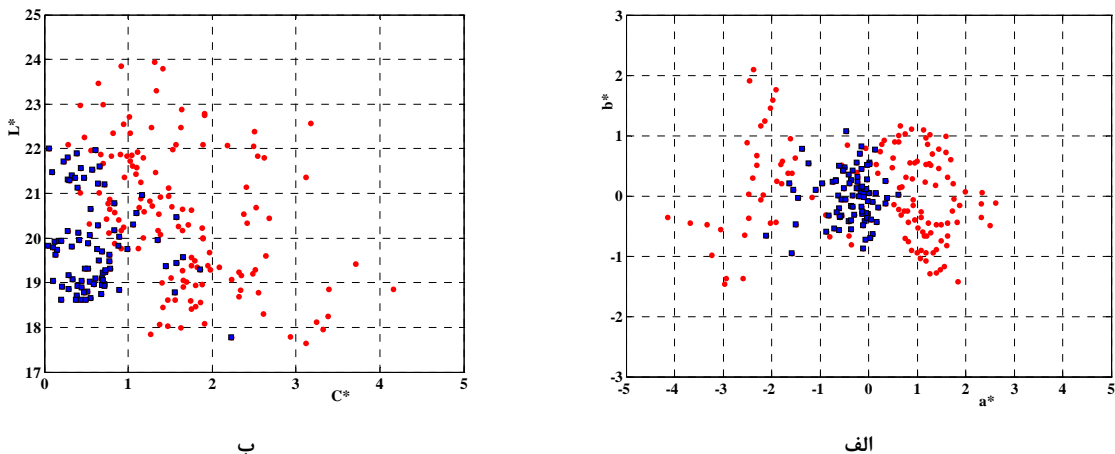
۳-۲-۱- تعیین نمونه‌های سیاه

جهت انجام این آزمون، ۲۱۶ نمونه پارچه‌ای به ۹ گروه تصادفی تقسیم‌بندی شدند در حالیکه در هر گروه ۲۴ نمونه بدون هیچگونه پیش‌فرضی قرار می‌گرفت. سپس نمونه‌های هر گروه به صورت کاملاً تصادفی به ارزیابان ارائه و از آنان خواسته می‌شد که تنها تعیین کنند آیا نمونه از نظر آنان سیاه است یا نه؟ به این ترتیب، درصد پذیرش سیاهی متناظر با هر نمونه بین صفر تا ۱۰۰٪ تعیین گردید [۱۹] به نحوی که درصد پذیرش صفر به مفهوم آن است که هیچیک از ارزیابان، نمونه را سیاه تشخیص ندادند. دریابان، پس از انجام ۲۱۶۰ آزمون ارزیابی، ۸۵ نمونه با درصد پذیرش ۶۰ تا ۱۰۰٪ به عنوان نمونه‌های سیاه استخراج شدند. جهت تمایز ویژگی‌های رنگی، ۸۵ نمونه مذکور که بیش از ۵۰٪ ارزیابان آنها را سیاه تشخیص دادند در شکل ۱ با مربع‌های آبی رنگ مشخص شده‌اند. مطابق شکل ۱-الف غالباً نمونه‌هایی برگزیده به عنوان سیاه در نواحی ۳ و ۴ فام توزیع یافته‌اند ضمن آنکه مطابق شکل (۱-ب) از مقادیر خلوص و روشنایی پایینی هم برخوردارند.

خمیر چاپ حاوی امولسیون آب/نفت، سولفات آمونیم و پیوندۀ اکریلیکی همراه با درصدهای متفاوت از مخلوطهای مختلف رنگدانه‌های رنگی، آماده‌سازی شده و به کمک شابلون بر روی پارچه پنبه‌ای با بافت تافتۀ چاپ زده شد. با توجه به اینکه هنوز یک اندیس معابر پذیرفته شده در جوامع رنگ جهت ارزیابی سیاهی ارائه نشده است لذا معیار قضاوت سیاهی نمونه‌ها پایین بودن مقادیر روشنایی و خلوص آنها در نظر گرفته شد. به این ترتیب، پس از هر عملیات چاپ، ویژگی‌های رنگی نمونه‌ها اندازه‌گیری شده و نسخه چاپ بعدی با توجه به مشخصات کالریمتری نمونه‌های قبلی تغییر می‌کرد تا از تهیه نمونه‌های بسیار روشن و یا با خلوص بالا پرهیز شود. در نتیجه ۲۱۶ نمونه مشکی به طریق چاپ بر روی پارچه پنبه‌ای تهیه گردید که به دلیل دارا بودن رنگدانه رنگی از ته رنگ‌های متفاوتی برخوردار بودند [۲۷].

۳-۲-۲- اندازه‌گیری طیف انکاسی و محاسبه ویژگی‌های رنگی

از دستگاه اسپکتروفوتومتر Texflash محصول شرکت Datacolor جهت اندازه‌گیری مقادیر انکاس ۲۱۶ نمونه مشکی استفاده شد. بررسی‌های اولیه نمونه‌ها بصورت ارزیابی چشمی حاکی از مات بودن نمونه‌ها و عدم وجود جلا بود لذا اندازه‌گیری‌ها در محدوده طیف مرئی از ۴۰۰ تا ۷۰۰ نانومتر و با گام‌های ۲۰ نانومتری در حالی انجام شد که هندسه کاربردی دستگاه d/0 بوده و انکاس آینه‌ای و تأثیر نور غیرمرئی نیز حذف گردیده بود. سپس با استفاده از طیف انکاس آندازه‌گیری شده نمونه‌ها، مقادیر محرکه‌های سه‌گانه (CIELXYZ) تحت استاندارد روشنایی D65 و مشاهده کننده استاندارد CIE1964 محاسبه گردید. شکل ۱ در دو بخش الف و ب توزیع نمونه‌ها را به ترتیب در دو دیاگرام a^*b^* و C^*L^* از فضارنگ‌های CIELAB و CIELCH نشان می‌دهد. شکل ۱-الف، بخوبی توزیع نمونه‌ها را در چهار ناحیه فام نشان می‌دهد و بیانگر آن است که پارچه‌های مشکی از ته رنگ‌های مختلفی برخوردارند. همچنین شکل ۱-ب محدوده‌های خلوص (۰,۰۴-۰,۱۶ C*:، ۰,۹۵-۲,۳۶ L*:، ۰,۶۴-۱,۷۶ روشنایی) نمونه‌ها را نشان می‌دهد.



شکل ۱: مشخصات رنگی ۲۱۶ پارچه سیاه در (الف): دیاگرام a^*b^* از فضانگ CIELAB و (ب): دیاگرام C^*L^* از فضانگ CIELCH. ۸۵ نمونه‌ای که با مربع‌های آبی رنگ مشخص شده‌اند توسط بیش از ۵۰٪ از ارزیابان، سیاه تشخیص داده شده‌اند.

است.

در پایان به منظور کنترل دقیق مشاهده‌کنندگان، میزان تکرارپذیری و دوباره تولید نتایج ارزیابی‌های چشمی با استفاده از معیار تصمیم‌گیری اشتباه^۱ [۱، ۲۶، ۲۷] بررسی گردید. کسب نتیجه ۸۷٪/۴۸٪ تکرارپذیری نتایج ارزیابی چشمی و میزان دوباره تولید ۸۷٪/۱۸٪ در مقایسه با نتایج گزارش شده در سایر تحقیقات [۱۶، ۴] حاکی از دقیق بالای مشاهده‌کنندگان در آزمون‌های تکراری و در توافق با سایر مشاهده‌کنندگان در ارزیابی نمونه‌های مشکی است.

۳- نتایج و بحث

مطابق شکل ۱، ۲۱۶ نمونه سیاه پارچه‌ای از توزیع نسبتاً یکنواختی در نواحی چهارگانه فام برخوردارند به طوری که به ترتیب ۴۸، ۵۴، ۶۰ و ۵۴ نمونه در نواحی ۱، ۲، ۳ و ۴ فام قرار دارند. به منظور بیان توزیع یکنواخت ویژگی‌های رنگی نمونه‌ها در نواحی چهارگانه فام، جدول ۲ تغییرات روشنایی و خلوص نمونه‌ها را به صورت مقادیر کمینه و بیشینه نشان می‌دهد. در آزمون چشمی انتخاب نمونه‌های سیاه، ۸۵ نمونه توسط بیش از ۵۰٪ مشاهده‌کنندگان به عنوان نمونه سیاه ارزیابی شدند که به ترتیب ۸، ۳۴، ۳۵ و ۸ نمونه در نواحی ۱، ۲، ۳ و ۴ فام قرار داشتند (جدول ۲). جالب آنکه مشاهده‌کنندگان تعداد بسیار کمی از نمونه‌های سیاه واقع در نواحی ۱ و ۴ فام را به عنوان نمونه سیاه پذیرفتند (انتخاب تنها ۱۶ نمونه از بین ۱۰۲ نمونه سیاه با تهرنگ‌های قرمز-زرد و یا قرمز-آبی). اینکه از بین ۸۵ نمونه پذیرفته شده به عنوان سیاه، ۶۹ نمونه (۸۱٪) در نواحی ۳ و ۴ فام واقع شده‌اند به نوعی بیانگر اهمیت تهرنگ سبز-آبی نمونه‌ها در میزان پذیرش سیاهی آنها است.

1- Wrong decision

۲-۳-۲- انتخاب سیاه برتر

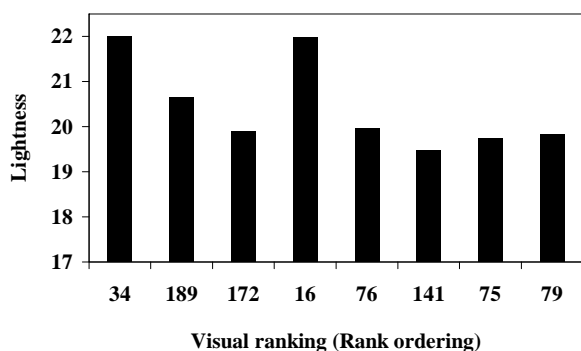
از آنجاکه امکان ارزیابی همزمان ۸۵ نمونه وجود نداشت تصمیم برآن شد تا نمونه‌های سیاه ابتدا بر اساس زاویه فام (یا همان تهرنگ نمونه‌ها) دسته‌بندی شده و سیاه‌های برتر در هریک از نواحی چهارگانه فام استخراج شوند و سپس سیاه ترجیح داده شده از بین نمونه‌های سیاه برتر استخراج شود. به این ترتیب، در ۴ دسته‌بندی فام انجام شده، ۸، ۳۴، ۳۵ و ۸ نمونه به ترتیب در نواحی اول ($h \leq 90^\circ$)، دوم ($90^\circ < h \leq 180^\circ$)، سوم ($180^\circ < h \leq 270^\circ$) و چهارم ($270^\circ < h \leq 360^\circ$) فام قرار گرفتند. به رغم دقیق بالاتر روش مقایسه جفت‌ها [۲۰-۲۲]، به دلیل تعدد نمونه‌ها از روش رتبه‌بندی منظم [۲۳-۲۵] جهت ارزیابی نمونه‌ها استفاده شد. به‌این‌منظور، نمونه‌های هر دسته بطور کاملاً تصادفی به ارزیابان ارائه و از آنان خواسته می‌شد که نمونه‌ها را صرفاً براساس ارجحیت فردی از کمترین تا بیشترین میزان ارجحیت سیاهی در ک شده مرتب سازند. به‌این‌ترتیب، کلیه نمونه‌های سیاه در هر دسته بندی فام در آزمون رتبه‌بندی منظم، مورد ارزیابی چشمی قرار گرفت و میانگین رتبه‌های اختصاص داده شده به آنها به عنوان مقیاسی برای ارجحیت سیاهی آنها در نظر گرفته شد به نحوی که رتبه بالاتر به مفهوم ارجحیت بیشتر نمونه سیاه بود. تعداد آزمون‌های ارزیابی چشمی انجام شده در این مرحله ۸۵۰ آزمون بوده است. در ادامه براساس رتبه‌های بدست آمده برای نمونه‌ها، ۳ نمونه ترجیح داده شده‌تر از میان نمونه‌های هریک از نواحی چهارگانه فام انتخاب شده و ۱۲ نمونه منتخب نهایی در یک گروه به ارزیابان ارائه شدند تا طی انجام ۲۰ آزمون ارزیابی چشمی، براساس ارجحیت افراد مجدد رتبه‌بندی شوند. مزیت ۱۲ نمونه نهایی علاوه بر تنوع در روشنایی و خلوص، برخورداری از تهرنگ‌های مختلف است. شایان ذکر است که در مجموع ۳۱۳۰ آزمون چشمی می‌تئی بر رتبه‌بندی منظم انجام شده

جدول ۲: محدوده تغییرات روش‌نایاب و خلوص ۲۱۶ نمونه تولید شده و ۸۵ نمونه سیاه منتخب ارزیابان در نواحی چهارگانه فام.

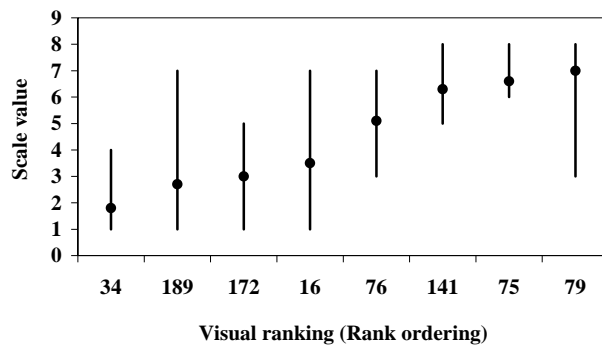
درصد نمونه‌های سیاه در هر ناحیه فام	تعداد کل نمونه: ۸۵				تعداد نمونه‌ها	تعداد کل نمونه: ۲۱۶				تعداد نمونه‌ها ناحیه فام		
	C*		L*			C*		L*				
	Max	Min	Max	Min		Max	Min	Max	Min			
%۱۶,۶۶	۰,۷۷	۰,۰۴	۲۲,۰۰	۱۹,۴۸	۸	۲,۳۴	۰,۰۴	۲۳,۸۱	۱۸,۸۴	۴۸	۰°≤h<۹۰	
%۵۸,۳۳	۱,۶۵	۰,۱۰	۲۱,۳۰	۱۸,۶۲	۳۵	۳,۱۸	۰,۱۰	۲۲,۸۸	۱۸,۶۲	۶۰	۹۰°≤h<۱۸۰	
%۶۲,۹۶	۲,۲۲	۰,۰۹	۲۱,۷۲	۱۷,۷۷	۳۴	۴,۱۶	۰,۰۹	۲۲,۱۰	۱۷,۶۴	۵۴	۱۸۰°≤h<۲۷۰	
%۱۴,۸۱	۰,۷۰	۰,۱۳	۲۱,۸۹	۱۹,۰۵	۸	۲,۶۱	۰,۱۳	۲۳,۹۵	۱۷,۸۵	۵۴	۲۷۰°≤h<۳۶۰	

نمونه‌های سیاه واقع در نواحی ۱، ۲، ۳ و ۴ فام بر حسب ارجحیت فردی ارزیابان نشان می‌دهد به نحوی که محورهای قائم (در بخش الف) مقادیر کمینه، بیشینه و میانگین رتبه‌های نمونه‌ها نسبت داده شده به نمونه‌ها و در بخش‌های ب، ج، د و پیشگی‌های رنگی نمونه‌ها را نشان می‌دهند. همچنین محورهای افقی شماره نمونه‌ها را از کمترین تا بیشترین سیاه ترجیح داده شده نشان می‌دهند. شکل ۲ نتایج ارزیابی چشمی ۸ نمونه سیاه واقع در ناحیه ۱ فام را بر حسب ارجحیت ارزیابان نشان می‌دهد.

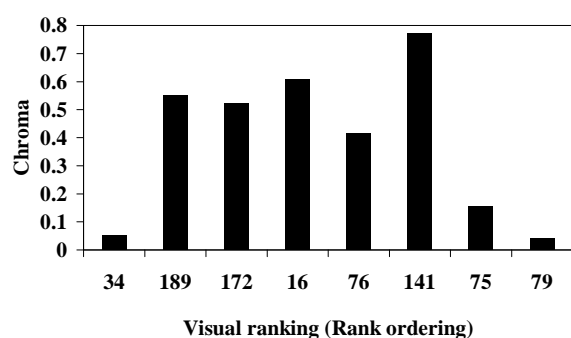
گام بعدی تعیین سیاه ترجیح داده از بین ۸۵ نمونه سیاه انتخابی است. به طوری که قبل اشاره گردید به دلیل تعدد نمونه‌ها عدم امکان ارزیابی همزمان ۸۵ نمونه تصمیم برآن شد که ابتدا نمونه‌ها در هر یک از نواحی چهارگانه فام بر حسب ارجحیت ارزیابان رتبه‌بندی گردند تا نمونه‌های ترجیح داده از بین نمونه‌های سیاه با ترتیب‌گاهی مشابه مشخص شوند و در گام بعدی ارزیابی در بین نمونه‌های منتخب با تنوع فام صورت پذیرد. شکل‌های ۲، ۳، ۴ و ۵ به ترتیب نتایج ارزیابی مشاهده کنندگان را در رتبه‌بندی منظم



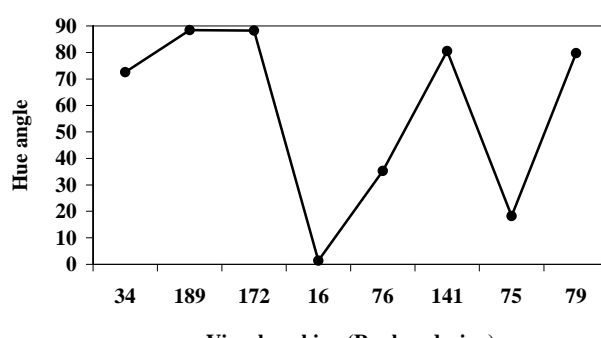
ب



الف



د



ج

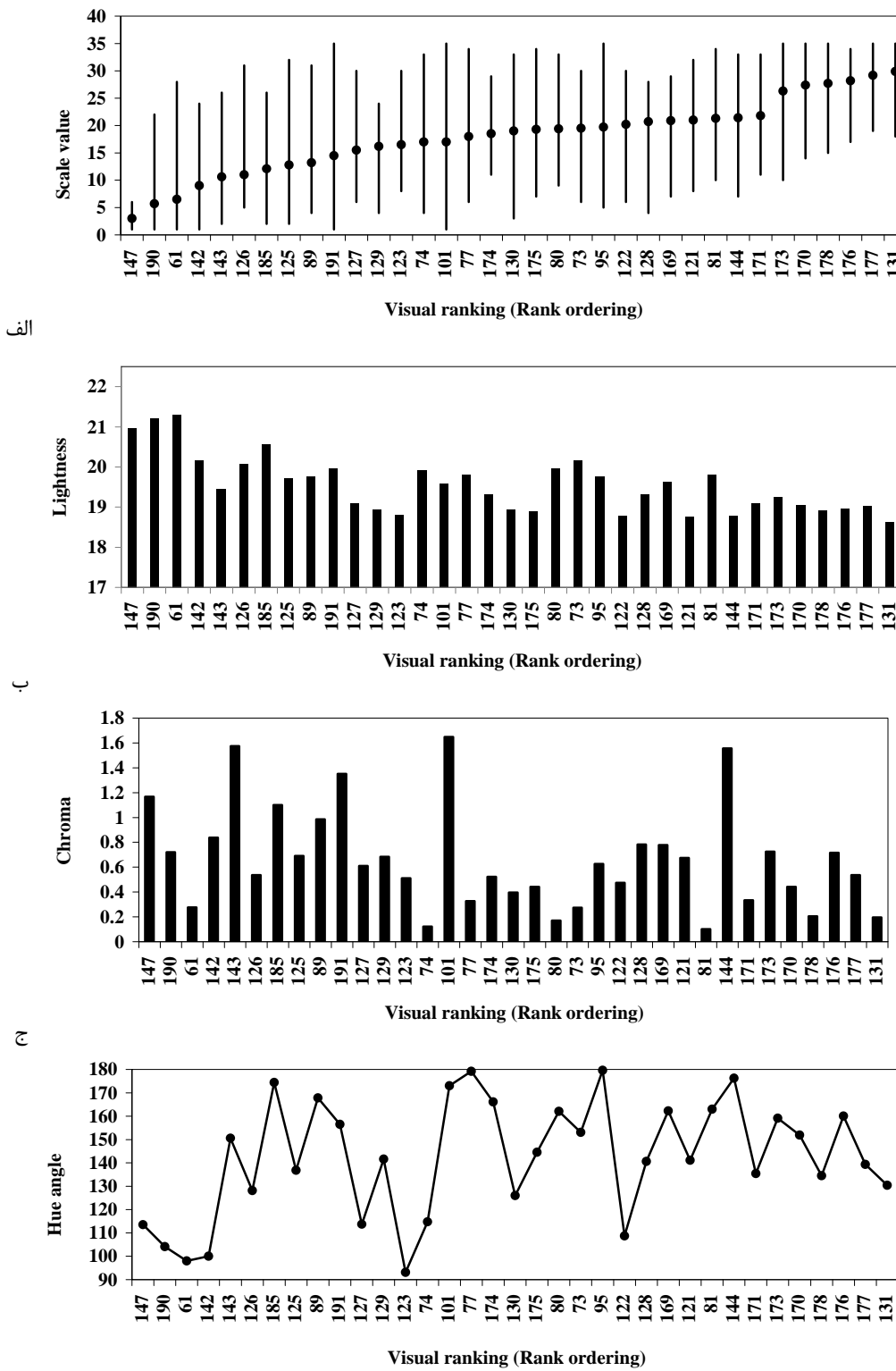
شکل ۲: نتایج ارزیابی ۸ نمونه سیاه پارچه‌ای با ته رنگ‌های قرمز-زرد. محور قائم در شکل (الف): کمترین، بیشترین و میانگین رتبه تخصیص داده شده به نمونه‌های سیاه را مطابق ارجحیت ارزیابان نشان می‌دهد و در شکل‌های (ب)، (ج) و (د) به ترتیب روش‌نایابی، زاویه فام و خلوص نمونه‌ها را بیان می‌کند. محورهای افقی نیز از چپ به راست شماره نمونه‌ها را بر حسب کمترین تا بیشترین ارجحیت سیاهی ارزیابی شده نمایش می‌دهند.

بوده در بین ۳۵ نمونه سیاه واقع در ناحیه ۲ فام به عنوان سیاه برتر برگزیده شده است.

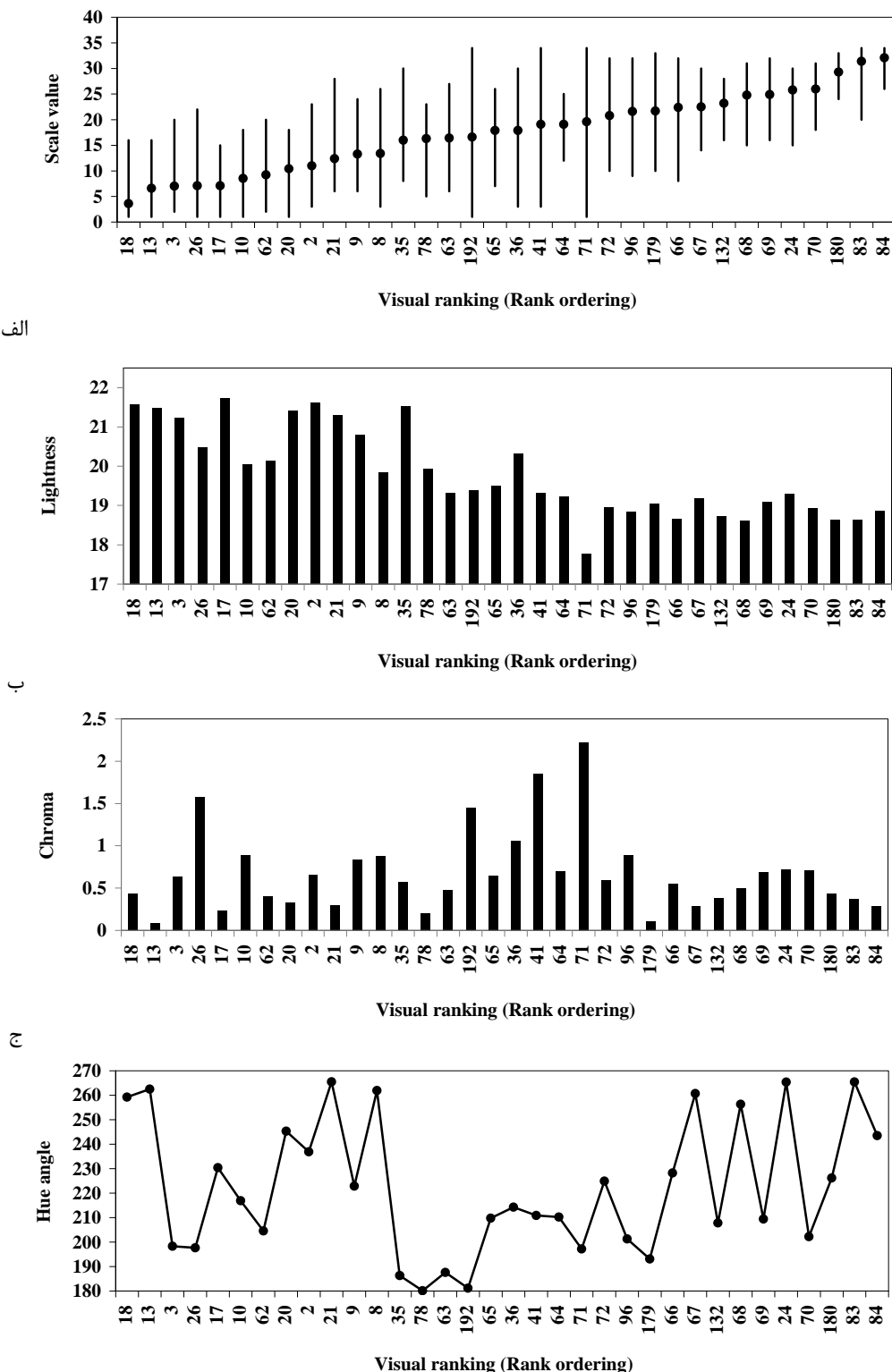
شکل ۴ نتایج ارزیابی چشمی ۳۴ نمونه سیاه واقع در ناحیه ۳ فام را بر حسب ارجحیت ارزیابان نشان می‌دهد. مطابق شکل (۴-ب) تیره‌ترین نمونه موجود یعنی نمونه ۷۱ به رغم دارابودن کمترین مقدار روشنایی (۱۷,۷۷) برخلاف انتظار رتبه بالایی از ارجحیت ارزیابان را کسب ننموده است. با توجه به شکل (۴-ج) بنظر می‌رسد بزرگی مقدار کرومای (۲,۲۲) نمونه ۷۱ در بین ۳۴ نمونه موجود علت این گزینش باشد. در حقیقت، یک نمونه سیاه صرفاً به دلیل کمترین مقدار روشنایی از نظر ارزیابان ترجیح داده نمی‌شود. از طرفی، با توجه به شکل ۴-ج مشاهده می‌شود که نمونه‌های ۱۳، ۱۷، ۷۸ و ۱۷۹ به رغم دارابودن مقادیر خلوص کم در بین ۳۴ نمونه سیاه موجود در ناحیه ۳ فام از نظر ارزیابان چندان ترجیح داده نشده‌اند. مطابق شکل ۴-ب بنظر می‌رسد دلیل این عدم ارجحیت به نوعی به روشنایی بالای نمونه‌ها به ویژه نمونه‌های ۱۳ و ۱۷ مربوط باشد. البته در این میان نمونه ۱۷۹ هم که تقریباً در سطح روشنایی یکسانی با نمونه ترجیح داده شده ۸۴ قرار دارد با وجود خنثی‌تر بودن برتری چندانی نداشته است. به نظر می‌رسد علت این امر تفاوت در زاویه فام دو نمونه ۱۷۹ (۱۹۳,۰۹) و ۸۴ (۲۴۳,۵۷) باشد و یا اینکه در ناحیه ۳ فام نمونه‌های خنثی‌تر از نظر مشاهده کنندگان کمتر ترجیح داده می‌شوند. البته عدم انتخاب نمونه ۱۳ با کمترین میزان خلوص (۰,۰۹) در بین نمونه‌ها به میزان روشنایی بالای آن (۲۱,۴۸) مربوط می‌شود. به بیان دیگر، یک نمونه صرفاً به دلیل خنثی‌تر بودن، ترجیح داده نمی‌شود. نتایج ارزیابی چشمی ۸ نمونه سیاه واقع در ناحیه ۴ فام به صورت رتبه‌بندی نمونه‌ها بر حسب ارجحیت مشاهده کنندگان در شکل ۵ نشان داده شده است. نکته جالب انتخاب دو نمونه ۸۲ و ۲۳ به عنوان سیاه‌های ترجیح داده شده است که به ترتیب خنثی‌ترین و تیره‌ترین نمونه‌ها در بین ۸ نمونه موجود هستند. ضمن آنکه نمونه ۲۳ به رغم دارابودن بالاترین میزان خلوص در بین ۸ نمونه موجود به عنوان سیاه برتر انتخاب شده است که بنظر می‌رسد علاوه بر تیرگی، هم‌جواری نمونه مذکور به محور آبی فضارنگ نیز دلیل این انتخاب باشد. در بررسی بخش‌های الف شکل‌های ۲ تا ۵ مشخص می‌شود که پراکندگی رتبه‌هایی نسبت داده شده به نمونه‌های سیاه که کمتر و یا بیشتر ترجیح داده شده‌اند (یعنی نمونه‌هایی واقع در ابتداء و انتهای نمودارها) کمتر از نمونه‌هایی است که با درجات متوسط ارجحیت سیاهی ارزیابی شده‌اند (نمونه‌هایی واقع در قسمت‌های میانی نمودارها). در حقیقت مشاهده کنندگان در ارزیابی و تخصیص رتبه به نمونه‌های سیاهی که آنها را خیلی بیشتر و یا خیلی کمتر ترجیح داده‌اند نسبت به سایر نمونه‌ها توافق نظر بیشتری داشته‌اند.

مطابق شکل (۲-الف) نمونه‌های ۳۴ و ۷۹ با مقادیر مقیاس ۱,۸ و ۷ بترتیب کمترین و بیشترین ارجحیت را در بین نمونه‌های سیاه تدقیق تا ته‌زرد کسب نمودند در حالی که با توجه به شکل‌های (۲-۲) و (۲-ج) مقادیر کرومای تقریباً یکسانی دارند (۰,۰۵ و ۰,۰۴) و با ته‌رنگ‌های یکسانی ارزیابی می‌شوند. تفاوت بارز دو نمونه مذکور در مقادیر روشنایی آنهاست که با توجه به شکل (۲-ب) و همانگونه که انتظار می‌رود نمونه ۷۹ با مقدار روشنایی کمتر، سیاه ترجیح داده شده‌تری است. از طرفی مشاهده می‌شود که دو نمونه ۱۶ و ۳۴ به رغم دارابودن مقادیر روشنایی یکسان (۰,۹۸ و ۰,۹۰) در درجات متفاوتی از ارجحیت سیاهی ارزیابی شده‌اند. نگاهی به شکل ۲-د و توجه به مقدار خلوص بیشتر نمونه ۱۶ (۰,۶۱) نسبت به نمونه ۳۴ (۰,۰۵) این انتظار را که نمونه با خلوص کمتر، بیشتر ترجیح داده شود را برآورده نمی‌سازد. بنظر می‌رسد این بار ارزیابان، ته‌رنگ قرمز نمونه ۱۶ را به خنثی‌بودن تقریبی نمونه ۳۴ ترجیح داده‌اند. همچنین مشاهده می‌شود که نمونه ۱۴۱ به رغم تیره‌تر بودن با ارجحیت سیاهی کمتری نسبت به نمونه ۷۹ با ته‌رنگ مشابه ارزیابی می‌شود. دلیل این ارزیابی با توجه به خلوص بیشتر نمونه ۱۴۱ (۰,۷۷) نسبت به نمونه ۷۹ (۰,۰۴) آشکار می‌گردد. لذا بنظر می‌رسد میزان خلوص کمتر در ارزیابی نمونه‌های سیاه با مقادیر روشنایی و زوایای فام تقریباً مشابه، عامل تعیین‌کننده‌ای است.

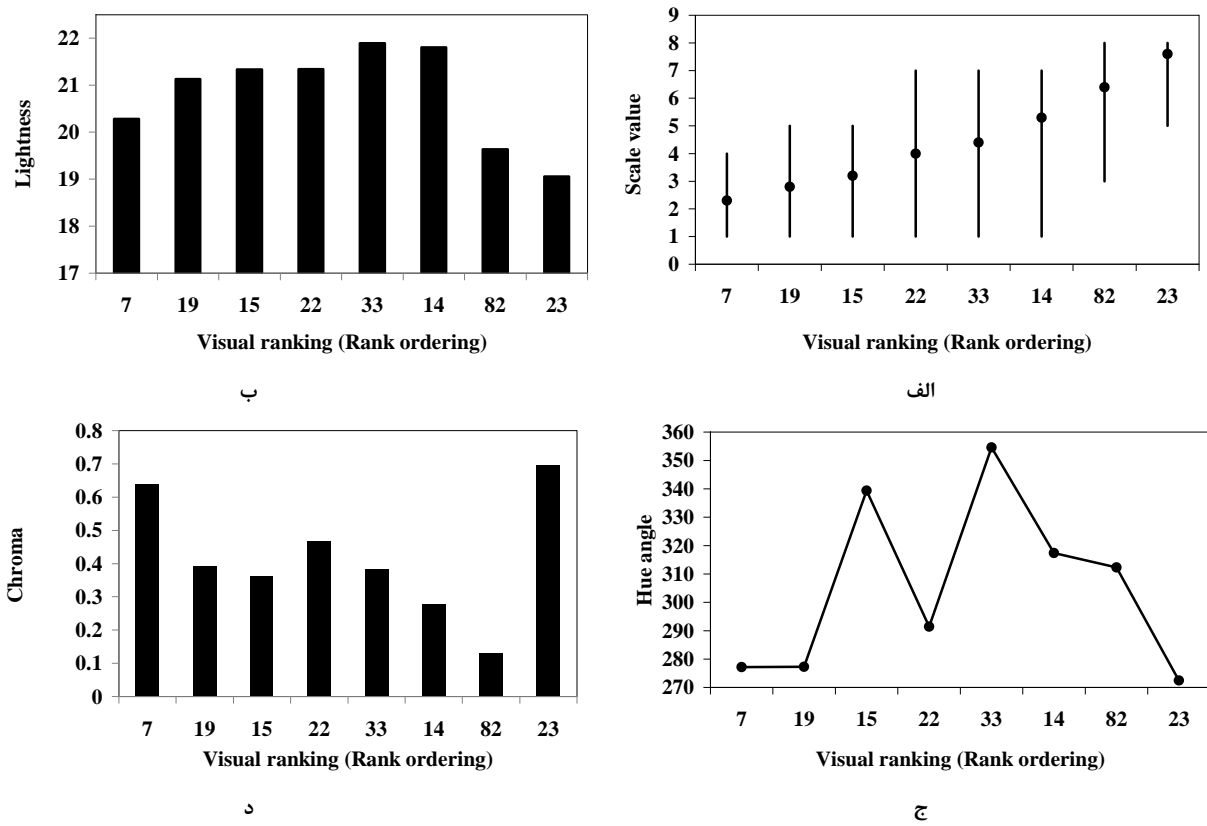
نتایج ارزیابی چشمی ۳۵ نمونه سیاه واقع در ناحیه ۲ فام به صورت رتبه‌بندی نمونه‌ها بر حسب ارجحیت مشاهده کنندگان در شکل ۳ نشان داده شده است. شکل (۳-ج) نشان می‌دهد که نمونه‌های ۱۰۱ و ۱۴۴ به رغم داشتن مقادیر خلوص تقریباً یکسان (۱,۶۵) و (۱,۵۶) و با وجود برخورداری از ته‌رنگ‌های مشابه در درجات متفاوت ارجحیت از نظر ارزیابان قضاوت شده‌اند. روشنایی کمتر نمونه ۱۴۴ (۱۸,۷۸) در مقایسه با نمونه ۱۰۱ (۱۹,۵۸) برتری نمونه ۱۰۱ (۱۹,۵۸) را آشکار می‌سازد. از طرفی مشاهده می‌شود که نمونه ۱۴۳ با مقادیر روشنایی (۱۹,۴۴) و خلوص (۱,۵۷) تقریباً معادل با نمونه ۱۰۱ از نظر ارزیابان جزء نمونه‌هایی با کمترین میزان ارجحیت برگزیده شده است. با توجه به شکل (۳-د) بنظر می‌رسد برتری نمونه ۱۰۱ نسبت به نمونه ۱۴۳ به ته‌رنگ آن مربوط گردد. همچنین مطابق شکل (۳-ج) مشاهده می‌شود که نمونه‌های ۷۶، ۸۰ و ۸۱ و صرفاً به دلیل داشتن مقادیر خلوص پایین با درجات بالایی از ارجحیت انتخاب نشده‌اند و در این میان نمونه ته‌سیزتر ۸۱ با مقادیر روشنایی و خلوص کمتر نسبت به دو نمونه ۷۶ و ۸۰ بیشتر ترجیح داده شده است. به طور معکوس ارجحیت کمتر نمونه ۷۶ نسبت به نمونه ۸۰ به رغم دارابودن مقدار خلوص کمتر می‌تواند به ته‌رنگ زردتر نمونه ۷۶ مربوط باشد. البته بررسی ویژگی‌های رنگی نمونه ۱۳۱ بیانگر آن است که نمونه‌ای که کمترین مقدار روشنایی را داشته و از خلوص نسبتاً کمی هم برخوردار



شکل ۳: نتایج ارزیابی ۳۵ نمونه سیاه پارچه‌ای با تهرنگ‌های زرد-سیاه. محور قائم در شکل (الف): کمترین، بیشترین و میانگین رتبه تخصیص داده شده به نمونه‌های سیاه را مطابق ارجحیت ارزیابان نشان می‌دهد و در شکل‌های ب، ج و د به ترتیب روش‌نایی، خلوص و زاویه فام نمونه‌ها را بیان می‌کند. محورهای افقی نیز از چپ به راست شماره نمونه‌ها را بر حسب کمترین تا بیشترین ارجحیت سیاهی ارزیابی شده نمایش می‌دهند.



شکل ۴: نتایج ارزیابی ۳۴ نمونه سیاه پارچه‌ای با ترنسگ‌های سبز-آبی. محور قائم در شکل (الف): کمترین، بیشترین و میانگین رتبه تخصیص داده شده به نمونه‌های سیاه را مطابق ارجحیت ارزیابان نشان می‌دهد و در شکل‌های (ب)، (ج) و (د) به ترتیب روش‌نامی، خلوص و زاویه فام نمونه‌ها را بیان می‌کند. محورهای افقی نیز از چپ به راست شماره نمونه‌ها را بر حسب کمترین تا بیشترین ارجحیت سیاهی ارزیابی شده نمایش می‌دهند.



شکل ۵: نتایج ارزیابی ۸ نمونه سیاه پارچه‌ای با تهرنگ‌های آبی-قرمز. محور قائم در شکل (الف): کمترین، بیشترین و میانگین رتبه تخصیص داده شده به نمونه‌های سیاه را مطابق ارجحیت ارزیابان نشان می‌دهد و در شکل‌های (ب)، (ج) و (د) به ترتیب روش‌نایی، زاویه فام و خلوص نمونه‌ها را بیان می‌کند. محورهای افقی نیز از چپ به راست شماره نمونه‌ها را بر حسب کمترین تا بیشترین ارجحیت سیاهی ارزیابی شده نمایش می‌دهند.

۴ ناحیه فام استخراج شده و در یک گروه قرار گرفتند (نمونه‌های ۱۴۱، ۱۴۲ و ۱۴۳ از ناحیه ۱ فام، نمونه‌های ۱۷۶، ۱۷۷ و ۱۷۸ از ناحیه ۲ فام، نمونه‌های ۱۸۰، ۱۸۳ و ۱۸۴ از ناحیه ۳ فام و نمونه‌های ۸۲، ۱۴ و ۲۳ از ناحیه ۴ فام). سپس از ارزیابان خواسته شد تا ۱۲ نمونه نهایی برتر را براساس ارجحیت فردی از کم به زیاد مرتب کنند. مقادیر میانگین رتبه‌های نسبت داده شده به نمونه‌های سیاه مجدداً به عنوان مقایسه‌ی ارجحیت سیاهی آنها در نظر گرفته شد. شایان ذکر است که ۱۲ نمونه انتخابی مطابق نظر ارزیابان به نوعی برترین نمونه‌های منتخب از میان ۲۱۶ نمونه سیاه تولید شده و با تنوعی از ویژگی‌های رنگی هستند. شکل ۶ نتایج ارزیابی چشمی ۱۲ نمونه برتر را نشان می‌دهد. همچنین مقادیر مقایسه اختصاص داده شده به نمونه‌ها و مشخصات رنگی آنها در جدول ۳ ارائه شده است. مطابق شکل ۶-ب و جدول ۳ به استثنای نمونه ۱۴، مقادیر روش‌نایی ۱۱ نمونه انتخابی کمتر از ۲۰ می‌باشد. ضمن آنکه یک روند مشخص کاهش روش‌نایی بر حسب ارجحیت سیاهی در بین ۱۲ نمونه برتر هم دیده نمی‌شود. نکته جالب توجه، گزینش سه نمونه سیاه ته‌سیز-تاه‌آبی ۸۴، ۱۸۰ و ۸۳ با بالاترین ارجحیت سیاهی است. به بیان دیگر بنظر می‌رسد ارجحیت فامی ارزیابان در گزینش سیاه برتر به ناحیه سوم فام

از طرفی، در آزمون انتخاب نمونه سیاه توجه به مقادیر خلوص نشان داده در جدول ۲ و نیز مقایسه این مقادیر در شکل‌های ۲-۵، ۳-۴، ۴-۵ و ۵-۶ بیانگر آن است که محدوده تغییرات خلوص در پذیرش بک نمونه به عنوان سیاه در نواحی ۲ و ۳ فام بیشتر از نواحی ۱ و ۴ است. شایان ذکر است که نتیجه مذکور با توجه به مقادیر روش‌نایی تقریباً یکسان گزارش شده است. به بیان دیگر، در یک سطح روش‌نایی نسبتاً یکسان، ارزیابان نمونه‌های سیاه ته‌سیز تا تاه‌آبی با مقادیر خلوص بالا را هنوز به عنوان سیاه ارزیابی می‌کنند (نمونه‌های ۱۰۱ و ۷۱ با مقادیر خلوص بیشینه ۱،۶۵ و ۲،۲۲ بترتیب در نواحی ۲ و ۳ فام) در حالی که برای نمونه‌های ته‌زرد تا ته‌قرمز مقادیر خلوص حتی به عدد ۱ هم نمی‌رسد (نمونه‌های ۱۴۱ و ۱۴۲ با مقادیر خلوص بیشینه ۰،۷۷ و ۰،۷۰ به ترتیب در نواحی ۱ و ۴ فام). در واقع نمونه‌های مشکی با تهرنگ‌های سبز تا آبی برخلاف نمونه‌های مشکی ته‌زرد-ته‌قرمز برغم افزایش خلوص هنوز هم از نظر ارزیابان سیاه تلقی می‌شوند. نتیجه مذکور به نوعی مؤید نتیجه کسب شده در تحقیقات انجام شده به وسیله کلانتس و همکارانش است [۱۶-۱۸].

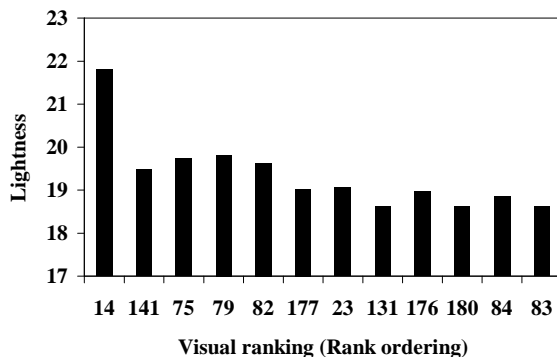
آخرین ارزیابی مربوط به انتخاب سیاه برتر از میان سیاههای ترجیح داده شده نواحی مختلف فام است. در این مرحله ۳ نمونه برتر از

است عدم ارجحیت ارزیابان را در انتخاب نمونه‌های سیاه ته‌قرمز تداعی می‌سازد. علاوه بر اثر ترنگ که به دلیل مقادیر خلوص کم نمونه‌ها شاید چندان مؤثر نباشد مشاهده می‌شود که سه نمونه مذکور پس از نمونه ۱۴ بالاترین مقادیر روشنایی را در بین ۱۲ نمونه منتخب دارا می‌باشند.

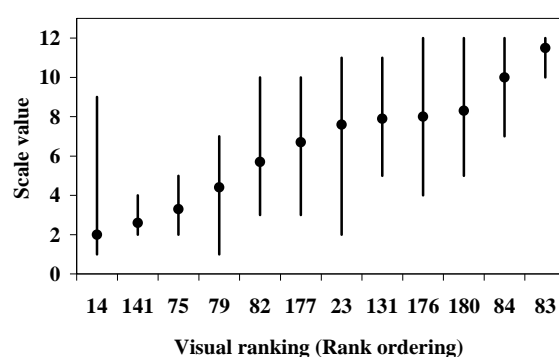
(۱۸۰<h<۲۷۰) مرتبط گردد. همچنین با توجه به شکل ۶-۵ ملاحظه می‌شود که ۱۲ نمونه انتخابی برتر همگی مقادیر خلوص پایینی دارند (C*^{<۰,۸}). ضمن آنکه نمونه‌های ۷۹، ۷۵ و ۸۲ به رغم دارا بودن مقادیر خلوص کم، در درجات پایینی از ارجحیت گزینش شده‌اند. نگاهی به مقادیر زوایای فام این نمونه‌ها که بیانگر اثری از ته‌قرمزی

جدول ۳: نتایج ارزیابی ۱۲ نمونه سیاه برتر بر حسب رتبه‌بندی منظم جهت انتخاب سیاه ترجیح داده شده.

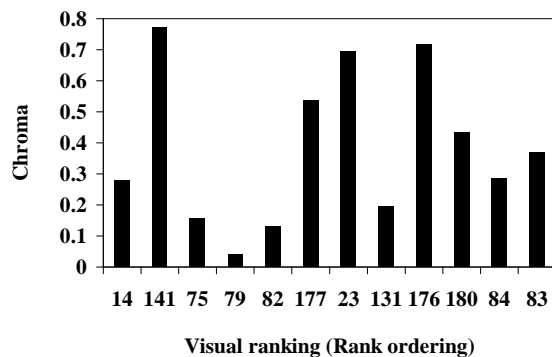
نمونه	L*	a*	b*	C*	Hue angle	مقدار مقیاس	انحراف استاندارد
۱۴	-۲۱,۸۰	۰,۲۰	-۰,۱۹	۰,۲۸	۳۱۷,۳۹	۲	۲,۵۴
۱۴۱	-۱۹,۴۸	۰,۱۳	۰,۷۶	۰,۷۷	۸۰,۵۲	۲,۶	۰,۸۴
۷۵	-۱۹,۷۳	۰,۱۵	۰,۰۵	۰,۱۵	۱۸,۱۹	۳,۳	۰,۹۵
۷۹	-۱۹,۸۲	۰,۰۱	۰,۰۴	۰,۰۴	۷۹,۷۳	۴,۴	۲,۵۰
۸۲	-۱۹,۶۳	۰,۰۹	-۰,۱۰	-۰,۱۳	۳۱۲,۳۴	۵,۷	۲,۱۱
۸۳	-۱۹,۰۳	-۰,۴۱	-۰,۴۱	-۰,۵۴	۱۳۹,۳۵	۶,۷	۲,۴۱
۸۴	-۱۹,۰۵	۰,۰۳	-۰,۶۹	-۰,۶۹	۲۷۲,۴۵	۷,۶	۲,۹۵
۱۳۱	-۱۸,۶۲	-۰,۱۳	-۰,۱۵	-۰,۲۰	۱۳۰,۴۴	۷,۹	۲,۱۳
۱۷۷	-۱۸,۶۲	-۰,۶۷	-۰,۲۴	-۰,۷۱	۱۶۰,۰۷	۸	۲,۴۵
۲۳	-۱۸,۶۰	-۰,۳۱	-۰,۳۱	-۰,۴۳	۲۲۶,۲۰	۸,۳	۲,۱۱
۱۷۶	-۱۸,۶۲	-۰,۳۰	-۰,۲۶	-۰,۲۹	۲۴۳,۵۷	۱۰	۱,۵۶
۱۸۰	-۱۸,۶۲	-۰,۱۳	-۰,۱۳	-۰,۲۹	۲۶۵,۴۵	۱۱,۵	۰,۸۵



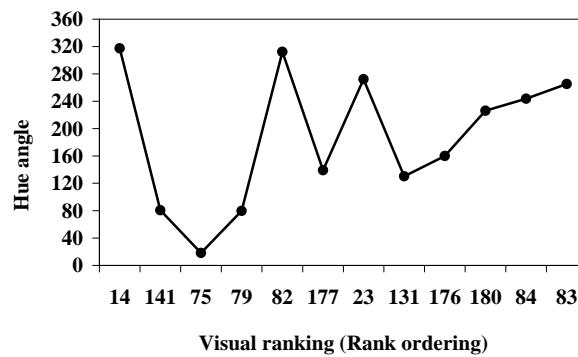
ب



الف



ج



ج

شکل ۶: نتایج ارزیابی ۱۲ نمونه سیاه برتر با تنوعی از ویژگی‌های رنگی. محور قائم در شکل (الف): کمترین، بیشترین و میانگین (مقدار مقیاس) رتبه تخصیص داده شده به نمونه‌های سیاه را مطابق ارجحیت ارزیابان نشان می‌دهد و در شکل‌های (ب)، (ج) و (د) به ترتیب روشنایی، زاویه فام و خلوص نمونه‌ها را بیان می‌کند. محورهای افقی نیز از چپ به راست شماره نمونه‌ها را بر حسب کمترین تا بیشترین ارجحیت سیاهی ارزیابی شده نمایش می‌دهند.

پذیرش یک نمونه به عنوان سیاه است. در آزمون تعیین سیاه ترجیح داده شده مشخص شد که از بین دو نمونه با مقادیر کرومای یکسان و با تهربنگ‌های مشابه، نمونه تیره‌تر بیشتر ترجیح داده می‌شود. همچنین در ارزیابی نمونه‌های سیاه با مقادیر روشناگی و زاویه فام تقریباً مشابه، نمونه خنثی‌تر از ارجحیت بالاتری برخوردار است. بنظر می‌رسد در ارزیابی نمونه‌های با فام مشابه نمونه‌هایی که بطور متوسط روشناگی و خلوص کمتری دارند بیشتر ترجیح داده می‌شوند. در پایان ضمن کسب این نتیجه که ارجحیت فامی سیاهی به طور کلی به نمونه‌هایی با تهربنگ‌های سبز-آبی مربوط می‌شود، پیچیدگی تبعیت سیاهی و ارجحیت سیاهی از سه ویژگی روشناگی، خلوص و زاویه فام بطور همزمان محزز می‌گردد. اهمیت نتیجه فوق در تلاش برای ارزیابی دستگاهی سیاهی و ارائه اندیسی که با نتایج ارزیابی‌های چشمی منطبق گردد آشکار می‌شود.

۴- نتیجه‌گیری

در تحقیق حاضر، اثر مؤلفه‌های CIELCH در انتخاب سیاه ترجیح داده شده بررسی گردید. ۲۱۶ نمونه پارچه‌ای سیاه به روش چاپ منسوج تهیه و توسط ۱۰ مشاهده‌کننده مورد ارزیابی قرار گرفت. آزمون‌های ارزیابی چشمی در دو مرحله مجزا و با هدف انتخاب سیاه برتر از بین نمونه‌هایی که بیش از ۵۰٪ مشاهده‌کنندگان در مورد سیاه بودن آنها توافق نظر داشتند، انجام شد. در آزمون انتخاب نمونه سیاه، نتایج نشان داد که ارزیابان عمدتاً نمونه‌های واقع در نواحی ۲ و ۳ فام را به عنوان سیاه ارزیابی نمودند و تنها تعداد بسیار کمی از نمونه‌های سیاه با تهربنگ‌های قرمز-زرد و یا قرمز-آبی را به عنوان سیاه گزینش نمودند. ضمناً ارزیابان نمونه‌های سیاه تمهیز تا ته‌آبی با مقادیر خلوص بالا را هنوز به عنوان سیاه ارزیابی می‌کنند در حالی که برای نمونه‌های ته‌زرد تا ته‌قرمز افزایش خلوص مانع

۵- مراجع

1. R. McDonald, Color physics for industry, 2th Ed, Dyers company publication trust, Bradford, 1997.
2. R. Jafari, S. H. Amirshahi, S. A. Hosseini Ravandi, Determination of spectral dimensions of Munsell neutral samples, in Proceeding of AIC 2011 midterm meeting, Zurich, Switzerland, (2011), 447-450.
3. S. K. Shevell, The Science of color, 2th Ed, Optical Society of America, 2003.
4. S. Westland, T. L. V. Cheung, O. R. Lozman, A metric for predicting perceptual blackness, in Proceeding of 14th Color Imaging Conference, Arizona, U.S.A. (2006), 14-17.
5. R. Jafari, Spectral and colorimetric analysis of blacks, PhD thesis, Isfahan University of Technology, Iran, 2013.
6. L. Tao, S. Westland, V. Cheung, Black, in Proceeding of the CREATE: Colour in Art, Science, Design, Conservation, Research, Printmaking, Digital Technologies, Textiles Conference, Gjøvik, Norway, (2010), 272-275.
7. R. Jafari, S. H. Amirshahi, S. A. Hosseini Ravandi, Spectral analysis of blacks. *J. Color Res. Appl.* 37(2012), 176-185.
8. R. Jafari, S. H. Amirshahi, S. A. Hosseini Ravandi, A comparison on spectral dimensionality of blacks and whites, in Proceeding of the 5th International Color and Coatings Congress, ICCC 2013, Isfahan, Iran, (2013).
9. R. Jafari, S. H. Amirshahi, S. A. Hosseini Ravandi, Actual dimensions of black samples using principal component analysis technique, in Proceeding of the 1st International and the 7th National Conference on Textile Engineering. Rasht. Iran, (2009).
10. M. Kihara, C. M. Asano, M. Murakami, I. Yoshizawa, A. Asano, T. Fujimoto, The determination of pure blackness of the fabric in women's formal dresses", in Proceeding of the 6th Asian Textile Conference, Hong Kong, (2001), 265-270.
11. C. M. Asano, A. Asano, M. Murakami, M. Mori, T. Fujimoto, A novel evaluation method of visual impression of black fabrics, in Proceeding of the Asian Design International Conference, The 3rd Annual Conference, China, 1(2003) G-47.
12. C. M. Asano, S. Hirakawa, A. Asano, Exploration of image features for describing visual impressions of black fabrics, in Proceeding of KES 2004, (2004), 756-763.
13. S. Aghayan, Evaluation of black samples to determine the preferred black, M.S. thesis, Amirkabir University of Technology, Iran, 2007.
14. L. Tao, S. Westland, V. Cheung, Blackness: Preference and Perception (Hue), in Proceeding of the 19th IS&T/SID Color and Imaging Conference, San Jose, U.S.A., (2011), 270-275.
15. L. Tao, S. Westland, V. Cheung, Blackness: Preference and Perception (Value and Chroma), in Proceeding of the 6th European Conference on Colour in Graphics, Imaging, and Vision, Amsterdam, Netherlands, (2012), 253-258.
16. J. R. Clonts Haslup, R. Shamey, D. Hinks, The effect of hue on the perception of blackness using Munsell samples. *Color Res Appl.* 38(2013), 423-428.
17. J. R. Clonts, R. Shamey, D. Hinks, Effect of colorimetric attributes on perceived blackness of materials, in Proceeding of the 4th European Conference on Colour in Graphics, Imaging, and Vision, Finland, (2010), 83-87.
18. R. Clonts, R. Shamey, Perceptual assessment of blackness, in Proceeding of the ISCC Special Topics Meeting Black and White, U. S. A. (2008), 20-22.
19. R. Jafari, S. H. Amirshahi, S. A. Hosseini Ravandi, Blacks colorimetric boundaries based on the perceived blackness, in Proceeding of the 12th Congress of the International Color Association, AIC Color 2013, Newcastle, United Kingdom, (2013), 503-506.
20. W. S. Torgerson, Theory and methods of scaling. Wiley, New York, 1958.
21. L. L. Thurstone, A law of comparative judgment. *Psychol. Rev.* 34(1927), 273-286.
22. R. Jafari, S. H. Amirshahi, A comparison of the CIE and Uchida whiteness formulae as predictor of average visual whiteness evaluation of textiles. *Text. Res. J.* 77(2007), 756-763.
23. J. P. Guilford, Psychometric methods. McGraw-Hill, New York, 1954.
24. R. Jafari, S. H. Amirshahi, Variation in the decisions of observers regarding the ordering of white samples. *Color. Technol.* 124(2008), 1-5.
25. R. Jafari, S. H. Amirshahi, Using the rank ordering method in visual evaluation of whiteness formulae, in Proceeding of the 6th National Conference on Textile Engineering, Isfahan, Iran, (2007).
26. V. K. McLaren, The colour science of dyes and pigments, Adam Hilger Ltd., Bristol, 1983.
27. K. McLaren, Colour passing – visual or instrumental?. *J Soc Dyers Colour.* 86(1970), 389-392.